

Software-Reengineering

Prof. Dr. Rainer Koschke

Montag, 29.01.2007

```

1 // original: http://www.d.umn.edu/~gshute/C/examples/quicksort.c
2 #include <stdio.h>
3
4 int A[] = { 99, 43, 22, 17, 57, 32, 43, 19, 26, 48, 87, 12, 75,
5 const int numEntries = sizeof(A)/sizeof(int);
6
7 void lqksort(int ilo, int ihi) {
8     int pivot;           // pivot value for partitioning array
9     int ulo, uhi;        // indices at ends of unpartitioned region
10    int ieq;              // least index of array entry with value
11    int tempEntry;        // temporary entry used for swapping
12
13    if (ilo >= ihi) {
14        return;
15    }
16    // Select a pivot value.
17    pivot = A[(ilo + ihi)/2];
18    // Initialize ends of unpartitioned region and least index of
19    // with value equal to pivot.
20    ieq = ulo = ilo;
21    uhi = ihi;

```

```
22  // While the unpartitioned region is not empty, try to reduce
23  while (ulo <= uhi) {
24      if (A[uhi] > pivot) {
25          // Here, we can reduce the size of the unpartitioned
26          // try again.
27          uhi--;
28      } else {
29          // Here, A[uhi] <= pivot, so swap entries at indices
30          // uhi.
31          tempEntry = A[ulo];
32          A[ulo] = A[uhi];
33          A[uhi] = tempEntry;
34          // After the swap, A[ulo] <= pivot.
35          if (A[ulo] < pivot) {
36              // Swap entries at indices ieq and ulo.
37              tempEntry = A[ieq];
38              A[ieq] = A[ulo];
39              A[ulo] = tempEntry;
40              // After the swap, A[ieq] < pivot, so we need to
41              // ieq.
42              ieq++;
```

```

43         // We also need to change ulo, but we also need
44         // that when A[ulo] = pivot, so we do it after a
45         // statement.
46     }
47     // Once again, we can reduce the size of the unpart
48     // region and try again.
49     ulo++;
50 }
51 }
52 // Now, all entries from index ilo to ieq - 1 are less than
53 // and all entries from index uhi to ihi + 1 are greater than
54 // pivot. So we have two regions of the array that can be sorted
55 // recursively to put all of the entries in order.
56 lqksort(ilo, ieq - 1);
57 lqksort(uhi + 1, ihi);
58 }
59
60 void qksort(void) {
61     lqksort(0, numEntries - 1);
62 }

```

```
1  void
2  bubbleSort (int list[], int len)
3  {
4      int sorted = FALSE;
5      while (!sorted)
6      {
7          int j;
8          sorted = TRUE;
9          for (j = 0; j < len - 1; j++)
10             {
11                 if (list[j] > list[j + 1])
12                     {
13                         int t;
14                         sorted = FALSE;
15                         t = list[j];
16                         list[j] = list[j + 1];
17                         list[j + 1] = t;
18                     }
19             }
20     }
21 }
```

LOC

lqksort qksort lqksort + qksort bubbleSort

LOC

	lqksort	qksort	lqksort + qksort	bubbleSort
LOC (wc)	52	3	55	21

LOC

	lqksort	qksort	lqksort + qksort	bubbleSort
LOC (wc)	52	3	55	21
Non-blank LOC	30	3	33	21

LOC

	lqksort	qksort	lqksort + qksort	bubbleSort
LOC (wc)	52	3	55	21
Non-blank LOC	30	3	33	21
CLOC	25	0	25	0

LOC

	lqksort	qksort	lqksort + qksort	bubbleSort
LOC (wc)	52	3	55	21
Non-blank LOC	30	3	33	21
CLOC	25	0	25	0
ELOC	19	1	20	9

Halstead

Länge	$N = N_1 + N_2$
Vokabular	$\mu = \mu_1 + \mu_2$
Volumen	$V = N \cdot \log_2 \mu$
Program Level	$L_{est} = (2/\mu_1) \cdot (\mu_2/N_2)$
Programmieraufwand	$E_{est} = V/L_{est}$

mit μ_1, μ_2 = Anzahl unterschiedlicher Operatoren, Operanden
 N_1, N_2 = Gesamtzahl verwendeter Operatoren, Operanden

```
24  
25 void qksort(void) {  
26     lqksort(0, numEntries - 1);  
27 }
```

$$N = 5 + 11 = 16$$

$$M = 5 + 8 = 13$$

$$V = 16 \cdot 13$$

Halstead für qksort

Operanden qksort		
1	lqksort	1
2	0	1
3	numEntries	1
4	1	1
<i>Summe</i>		4

Anzahl Operatoren = Anzahl Tokens
 - Anzahl Operanden = $16 - 4 = 12$

$$N = 12 + 4 = 16$$

$$\mu = 8 + 4 = 12$$

$$V = 16 \cdot \log_2 12 \approx 57$$

```

1 void lqksort(int ilo, int ihi) {
2     int pivot; int ulo, uhi; int ieq; int tempEntry;
3     if (ilo >= ihi) return;
4     pivot = A[(ilo + ihi)/2];
5     ieq = ulo = ilo; uhi = ihi;
6     while (ulo <= uhi) {
7         if (A[uhi] > pivot) {uhi--;}
8         else {
9             tempEntry = A[ulo];
10            A[ulo] = A[uhi];
11            A[uhi] = tempEntry;
12            if (A[ulo] < pivot) {
13                tempEntry = A[ieq];
14                A[ieq] = A[ulo];
15                A[ulo] = tempEntry;
16                ieq++;
17            }
18            ulo++;
19        }
20    }
21    lqksort(ilo, ieq - 1);
22    lqksort(uhi + 1, ihi);
23 }

```

 $N =$ $M = 35$

Halstead für lqksort

$$\mu = 32 / 35$$

$$N = 163$$

$$V = 163 \cdot \log_2 32 = 163 \cdot 5 \approx 815$$

```
1  void
2  bubbleSort (int list[], int len)
3  {
4      int sorted = FALSE;
5      while (!sorted)
6      {
7          int j;
8          sorted = TRUE;
9          for (j = 0; j < len - 1; j++)
10             {
11                 if (list[j] > list[j + 1])
12                     {
13                         int t;
14                         sorted = FALSE;
15                         t = list[j];
16                         list[j] = list[j + 1];
17                         list[j + 1] = t;
18                     }
19             }
20     }
21 }
```


Halstead für BubbleSort

$$\mu = 26$$

$$N = 100$$

$$V = 100 \cdot \log_2 26 \approx 470$$

Metrikenübersicht

$$V = N \cdot l d \mu$$

	lqksort	qksort	lqksort + qksort	bubbleSort
LOC (wc)	52	3	55	21
Non-blank LOC	30	3	33	21
CLOC	25	0	25	0
ELOC	19	1	20	9
Halstead	815	≈ 57	$\neq 815 + 57$	≈ 470

Metrikenübersicht

	lqksort	qksort	lqksort + qksort	bubbleSort
LOC (wc)	52	3	55	21
Non-blank LOC	30	3	33	21
CLOC	25	0	25	0
ELOC	19	1	20	9
Halstead	815	≈ 57	$\neq 815 + 57$	≈ 470
McCabe	5	1	6	4

Empirische Studien

Maintainability Index (Coleman/Oman, 1994):

$$MI_1 = 171 - 5.2 \cdot \ln(V) - 0.23 \cdot V(g') - 16.2 \cdot \ln(LOC)$$
$$MI_2 = MI_1 + 50 \cdot \sin \sqrt{2.46 \cdot perCM}$$

- V = average Halstead Volume per module
- $V(g')$ = average extended cyclomatic complexity per module
- LOC = average LOC per module
- $perCM$ = average percent of lines of comment per module
- MI_2 nur bei sinnvoller Kommentierung
- $MI < 65 \Rightarrow$ schlechte / $MI \geq 85 \Rightarrow$ gute Wartbarkeit

Empirische Studien

Maintainability Index (Coleman/Oman, 1994):

$$MI_1 = 171 - 5.2 \cdot \ln(V) - 0.23 \cdot V(g') - 16.2 \cdot \ln(LOC)$$

$$MI_2 = MI_1 + 50 \cdot \sin \sqrt{2.46 \cdot perCM}$$

- V = average Halstead Volume per module
- $V(g')$ = average extended cyclomatic complexity per module
- LOC = average LOC per module
- $perCM$ = average percent of lines of comment per module
- MI_2 nur bei sinnvoller Kommentierung
- $MI < 65 \Rightarrow$ schlechte / $MI \geq 85 \Rightarrow$ gute Wartbarkeit

$$MI_1(lqksort) = 171 - 5.2 \cdot \ln(815) - 0.23 \cdot 5 - 16.2 \cdot \ln(30)$$

$$MI_2(lqksort) = MI_1(lqksort) + 50 \cdot \sin \sqrt{2.46 \cdot 25/50} \approx 81$$

$$MI_1(bubbleSort) = 171 - 5.2 \cdot \ln(470) - 0.23 \cdot 4 - 16.2 \cdot \ln(21)$$

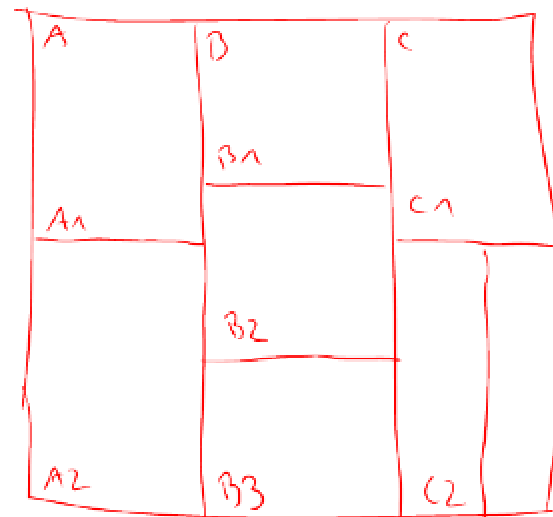
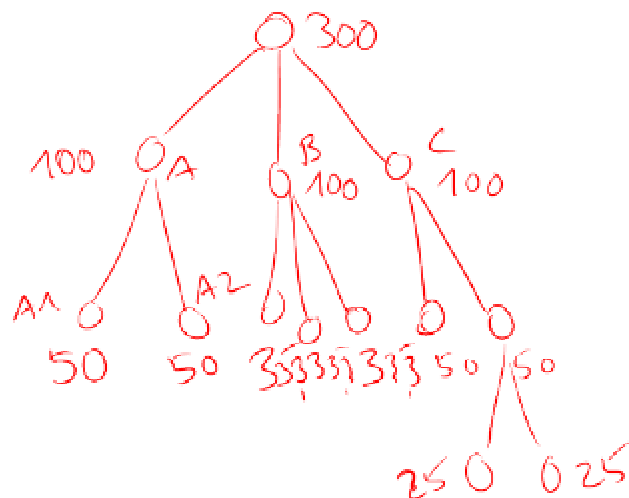
$$MI_2(bubbleSort) = MI_1(bubbleSort) + 50 \cdot \sin \sqrt{2.46 \cdot 0/21} \approx 89$$

Aufgabe 3.5 Software-Visualisierung

Entwerfen Sie eine geeignete Software-Visualisierung für die Klonerkennung. Die Visualisierung soll helfen, einen schnellen Überblick über Source-Code-Elemente mit einem großen Anteil von Klone zu gewinnen.

Die Software-Visualisierung soll es außerdem ermöglichen, ein Verständnis der Fortpflanzung der Klone zu erhalten (sowohl zeitlich – d.h. von einer Version zur anderen – als auch räumlich – d.h. von einer Quellcodeposition zur anderen unter besonderer Berücksichtigung von Duplizierung innerhalb von Dateien und über Dateien hinweg).

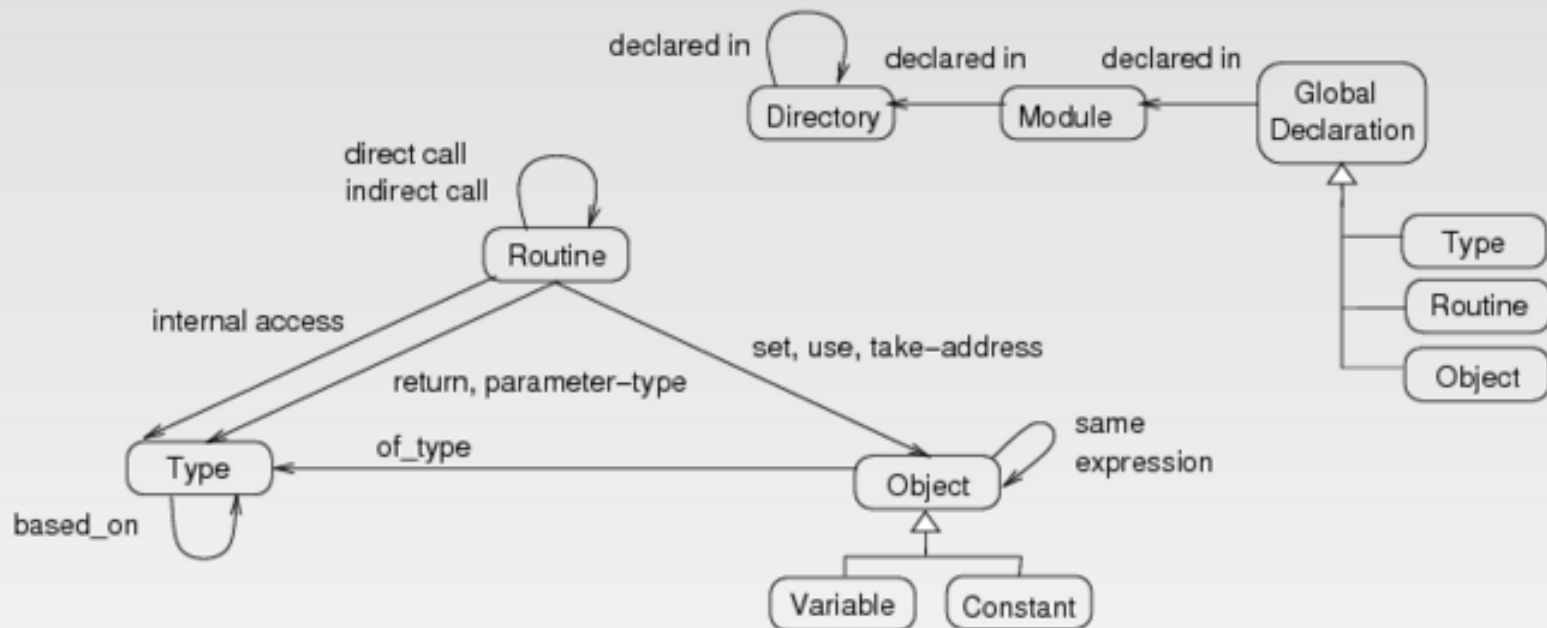
Beachten Sie auch die Unterscheidung der Klontypen (Typ 1, 2 und 3).



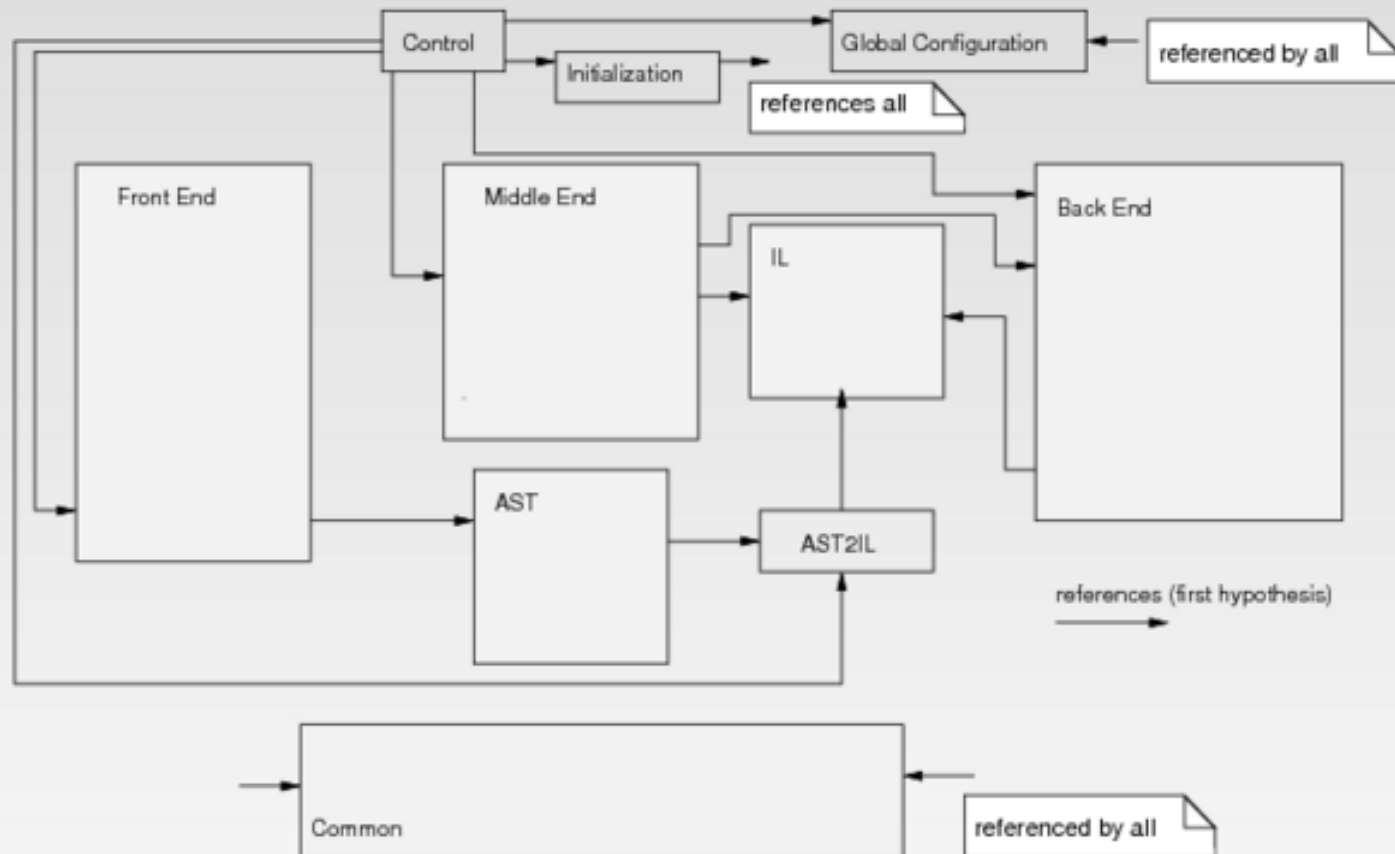
Fallstudie für C-Compiler (Koschke und Simon 2003)

System	KLOC	C-Units	Multi-Plattform	Aufwand
sdcc	100	49	ja	6 h
cc1	500	156	ja	8+ h

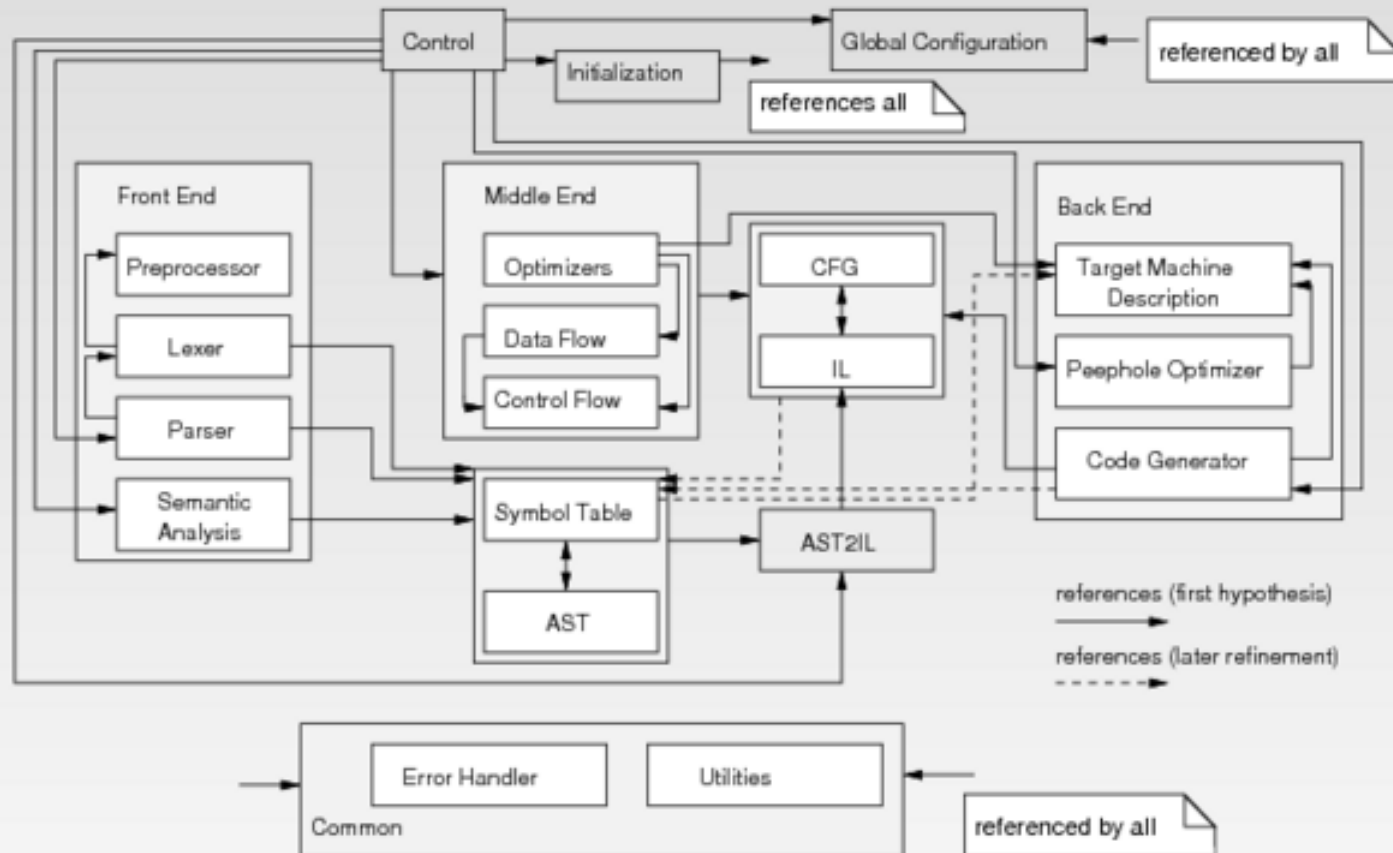
Bauhaus-Fakten-Extraktion



Compiler-Architektur (grobe Modulsicht)



Compiler-Architektur (detaillierte Modulsicht)



Resultate für *sdcc*

- Abbildung von Dateien relativ klar
- viele Divergenzen in der ersten Iteration
- Verfeinerung (5 zusätzliche Iterationen):
 - 45 globale Deklarationen nicht auf die konzeptionelle Komponente abgebildet, auf die Datei abgebildet wurde, die sie deklariert
 - die meisten davon auf *Global Declarations*
 - einige übersehene Abhängigkeiten in der hypothetischen Sicht

Resultate für *sdcc*

Architekturverletzungen:

- Symboltabelle referenziert Parser
 - Blocknummer von Deklarationen und Zeilennummer
- Back-End referenziert Parser
 - globale Variablen, die Kellergröße für Aktivierungsblöcke verwalten

Resultate für *sdcc*

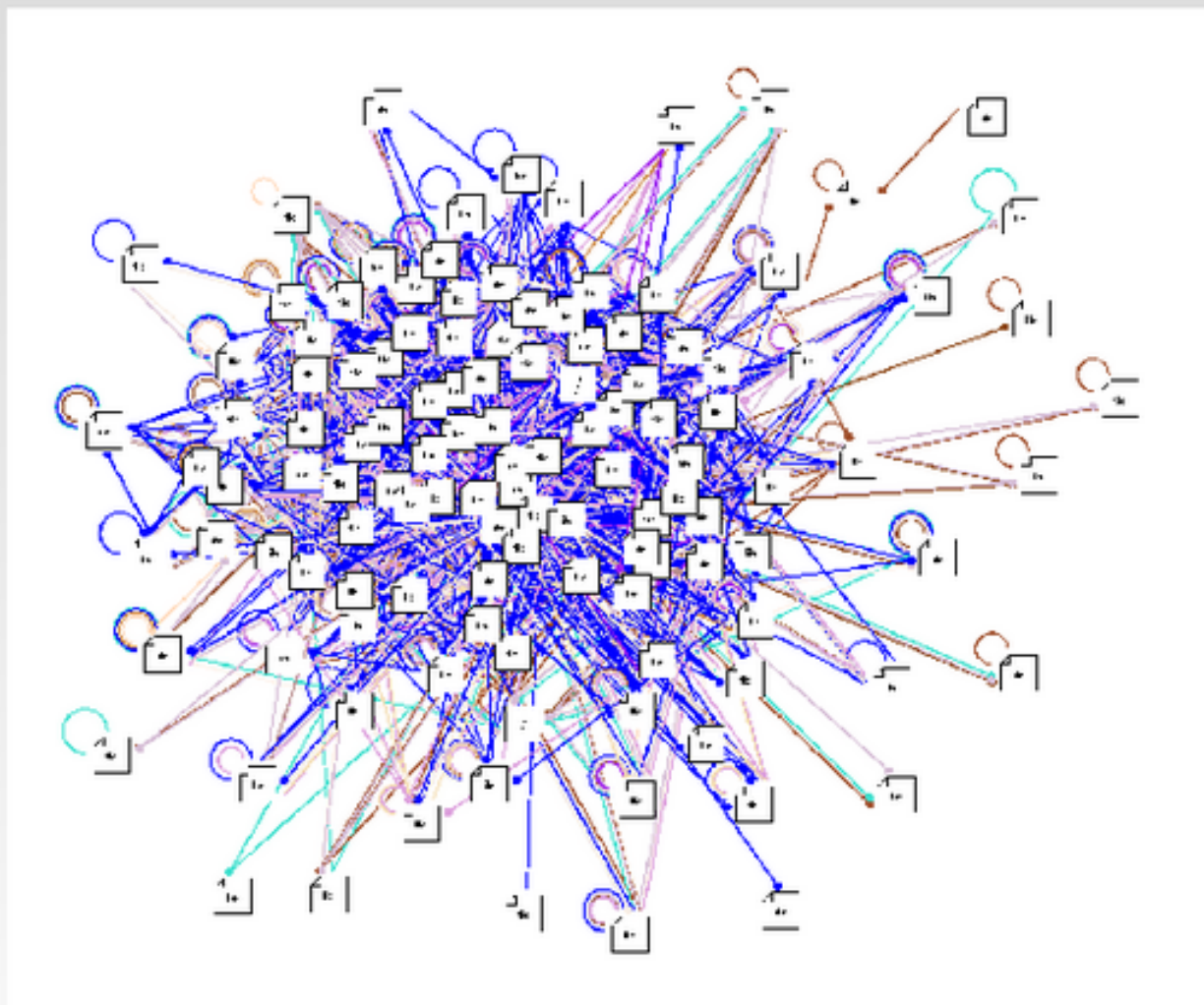
Architekturmuster:

- Optimierung referenziert Back-End
 - um plattformabhängige Parameter zu erhalten
 - mittels Funktionszeigern
- “anonyme” Abhängigkeit

Resultate für *cc1*

- nur Units abgebildet (keine Verfeinerung für globale Deklarationen)
- Front-End ist gut strukturiert and lose gekoppelt an Middle-/Back-End
- Back-End ist einfach identifizierbar
- Middle-End ist ein “big ball of mud”

Modulabhängigkeiten von *cc1*



Resultate für *cc1*

Architekturverletzungen:

- Middle-End referenziert Preprozessor
 - benutzt Hash-Tabelle des Preprozessors
 - (es gibt mindestens drei verschiedene Hash-Tabellen in *cc1*)
- viele, viele Divergenzen. . .

Gesammelte Erfahrungen

- Extraktion:
 - Funktionszeigeranalyse sehr wichtig
- Verfeinerungen der Modelle:
 - alle Modelle (hypothetische und konkrete Sicht, Abbildung)
- Einfluss der Strukturiertheit des analysierten Systems:
 - Kohäsion der Units erleichtert Abbildung enorm

Zusammenfassung

- hierarchisches hypothetisches Modell ist notwendig für große Systeme
- hypothetisches Modell und Abbildung müssen manuell erstellt werden
- Voraussetzungen:
 - hypothetische Sicht erfordert Wissen über Anwendungsbereich und potentielle Architektur
- Weitere notwendige Erweiterungen:
 - Abbildung von Relationen
 - Kontroll- und Datenflussabhängigkeiten statt nur Referenzen